

Détermination numérique de l'erreur à l'approximation gaussienne

$$\log \mathcal{L}(\theta) = -\frac{1}{2} \frac{(\hat{\theta} - \theta)^2}{\sigma_\theta^2} - \frac{1}{2} \log(2\pi\sigma_\theta^2)$$

$$\text{soit } \log \mathcal{L}^*(\theta) = \log \mathcal{L}(\theta) + \frac{1}{2} \log(2\pi\sigma_\theta^2)$$

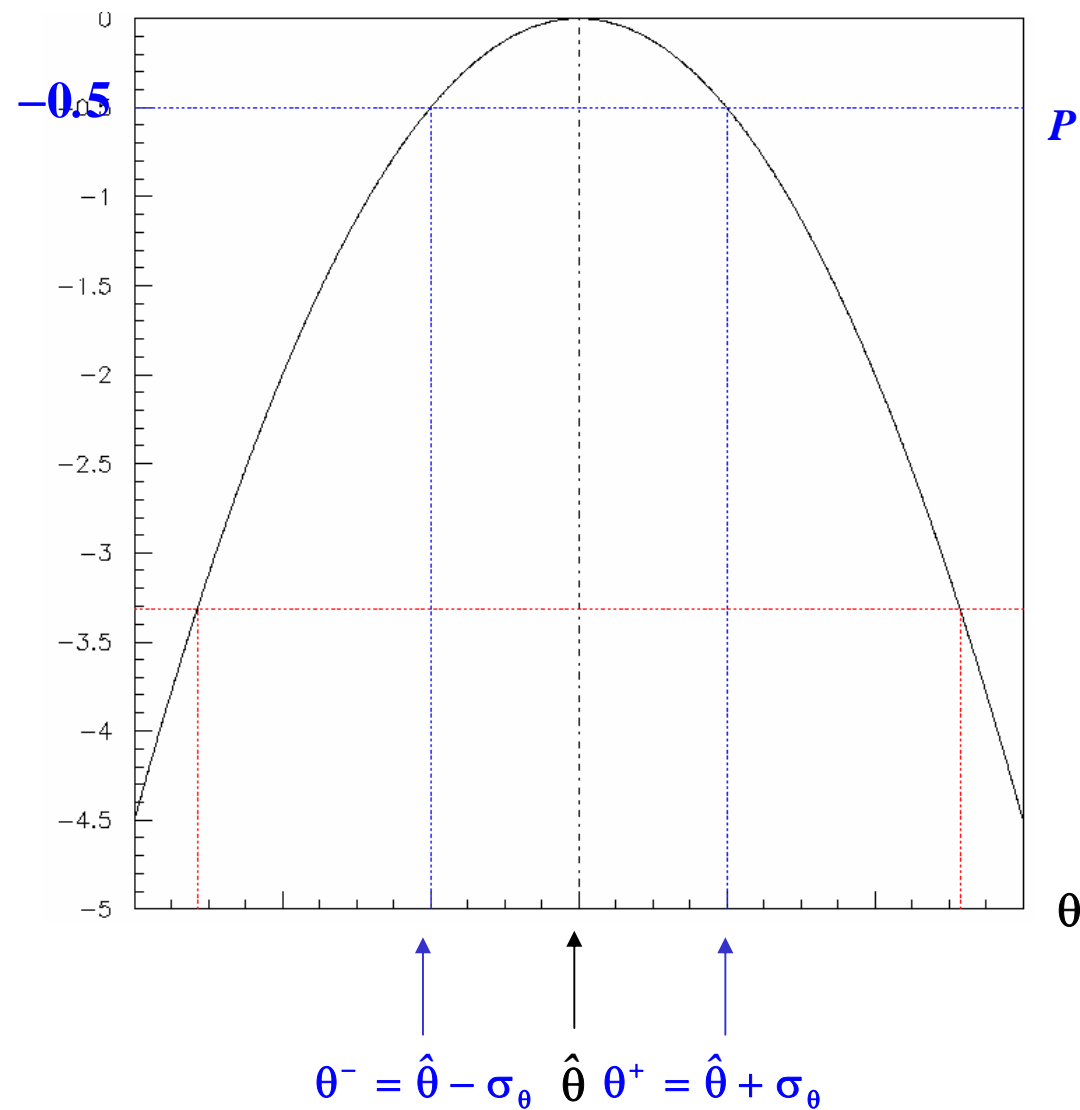
$\log \mathcal{L}^*(\theta)$ et $\log \mathcal{L}(\theta)$ identiques à une translation près : mêmes maximum et échelle

$$\log \mathcal{L}^*(\theta) = -\frac{1}{2} \frac{(\hat{\theta} - \theta)^2}{\sigma_\theta^2} \quad \text{parabole de maximum } \log \mathcal{L}^*(\hat{\theta}) = 0$$

$$\sigma_\theta \text{ tel que } \log \mathcal{L}^*(\theta = \hat{\theta} \pm \sigma_\theta) = -\frac{1}{2}$$

Présentation du résultat: $\theta = \hat{\theta} \pm \sigma_\theta$

$\log \mathcal{L}^*(\theta)$



$$P(\theta_0 \in [\theta^- = \hat{\theta} - \sigma_\theta, \theta^+ = \hat{\theta} + \sigma_\theta]) = 0.683$$

**Généralisation: détermination numérique d'un intervalle de confiance
à l'approximation gaussienne**

Intervalle $[\hat{\theta} - \Delta\theta_\alpha, \hat{\theta} + \Delta\theta_\alpha]$: intersection

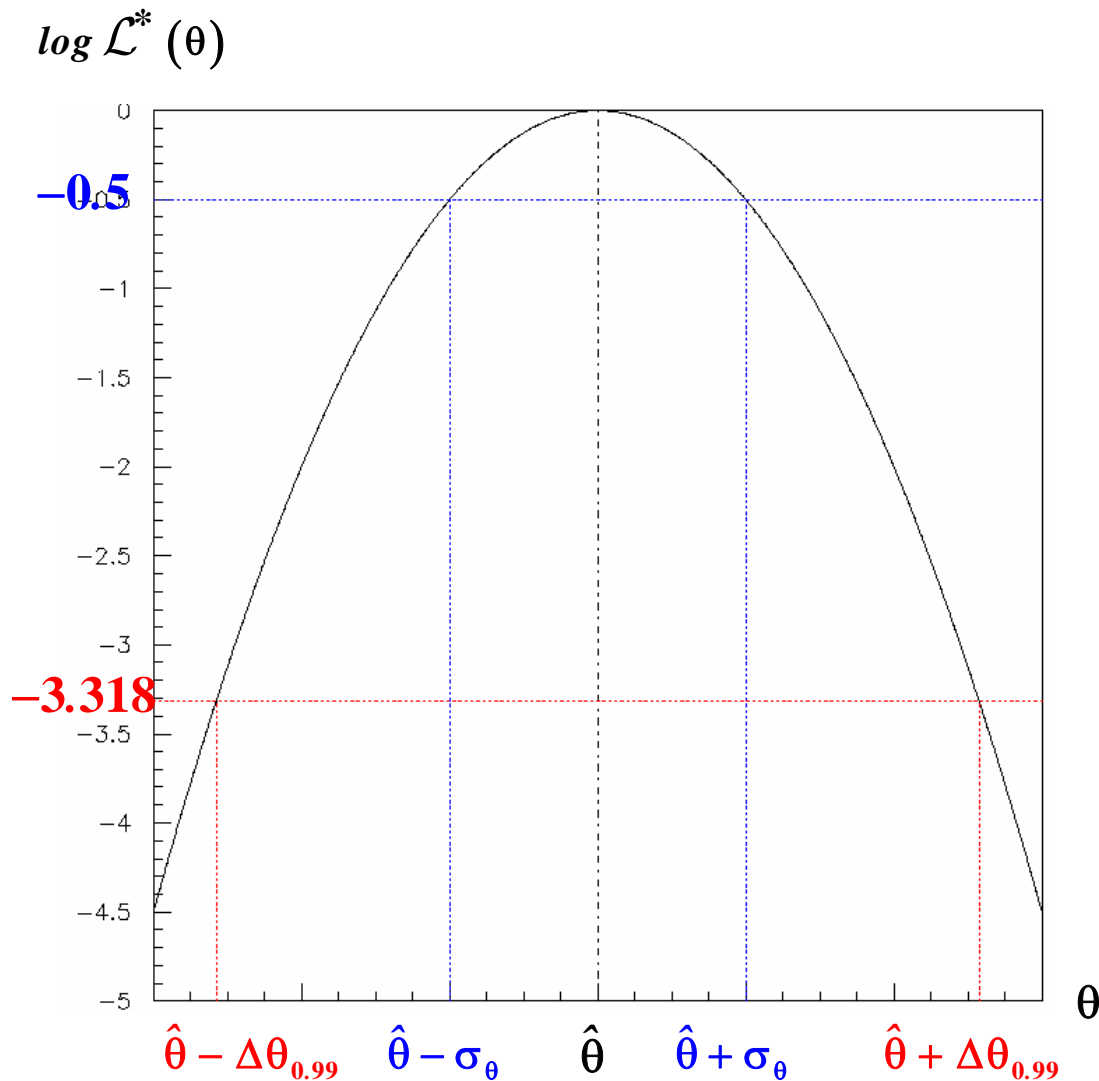
$$\begin{cases} \text{parabole } \log \mathcal{L}^*(\theta) = -\frac{1}{2} \frac{(\hat{\theta} - \theta)^2}{\sigma_\theta^2} \\ \text{horizontale } \log \mathcal{L}^*(\theta) = -\frac{r_\alpha^2}{2} \end{cases}$$

où est r_α est le nombre d'écart type de la $N(0,1)$ tel que $\alpha = \int_{-r_\alpha}^{r_\alpha} N(0,1) dx$

**Notons que $\Delta\theta_\alpha = r_\alpha \sigma_\theta$
si on connaît σ_θ , on peut calculer $\Delta\theta_\alpha$ pour tout α
sans disposer de $\log \mathcal{L}^*(\theta)$**

**$\theta = \hat{\theta} \pm \Delta\theta_\alpha$
au niveau de confiance α**

α	r_α	r_α^2
0.683	1	0.5
0.900	1.645	1.34
0.950	1.960	1.92
0.990	2.576	3.33
0.999	3.290	5.41



$$r_\alpha = 1 \quad r_\alpha^2/2 = 0.5$$

$$P(\theta_0 \in [\hat{\theta} - \sigma_\theta, \hat{\theta} + \sigma_\theta]) = 0.683$$

$$\alpha = 0.99 = \int_{-2.576}^{2.576} N(0,1) dx$$

$$r_{0.99} = 2.576 \quad r_{0.99}^2/2 = 3.318$$

$$P(\theta_0 \in [\hat{\theta} - \Delta\theta_{0.99}, \hat{\theta} + \Delta\theta_{0.99}]) = 0.99$$

$$\Delta\theta_{0.99} = 2.576 \sigma_\theta$$

Généralisation: détermination numérique de l'erreur et d'un intervalle de confiance pour les petits échantillons

n petit \Rightarrow plus d'approximation normale $\Rightarrow \log \mathcal{L}^*(\theta)$ n'est plus parabolique

Soit $\tau(\theta)$ une transformation univoque et réciproque $\Rightarrow \log \mathcal{L}^*(\tau) = -\frac{1}{2} \frac{(\hat{\tau} - \tau)^2}{\sigma_\tau^2}$

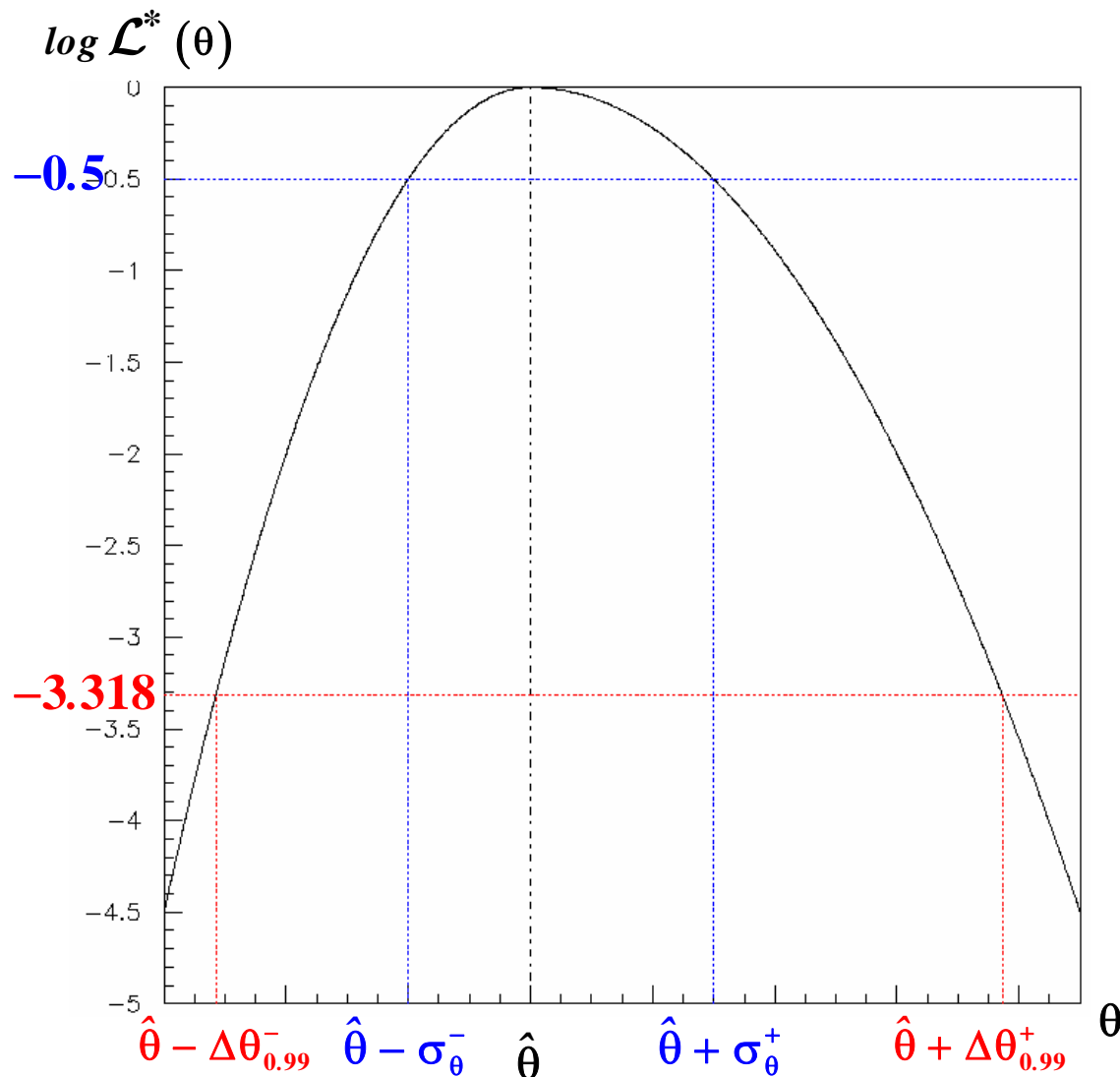
σ_τ défini par intersection avec $\log \mathcal{L}^*(\tau) = -\frac{1}{2}$

Conservation de la probabilité et univocité et réciprocity de $\tau(\theta)$:

$$\text{soit } \begin{cases} \tau_+ = \hat{\tau} + \sigma_\tau & \text{et} & \theta_+ = \tau^{-1}(\tau_+) \\ \tau_- = \hat{\tau} - \sigma_\tau & \text{et} & \theta_- = \tau^{-1}(\tau_-) \end{cases}$$

$\log \mathcal{L}^*(\tau_+) =$	$\log \mathcal{L}^*(\theta_+) = -\frac{1}{2}, \quad \sigma_\theta^+ = \theta_+ - \hat{\theta}$	$P(\theta_0 \in [\theta_-, \theta_+]) = 0.683$
$\log \mathcal{L}^*(\tau_-) =$	$\log \mathcal{L}^*(\theta_-) = -\frac{1}{2}, \quad \sigma_\theta^- = \theta_- - \hat{\theta}$	Résultat: $\theta = \hat{\theta}_{-\sigma_\theta^-}^{+\sigma_\theta^+}$

Les transformations $\tau(\theta)$ et $\theta(\tau)$ n'apparaissent pas explicitement dans le résultat et ne doivent donc pas être connues.



$$r_\alpha = 1 \quad r_\alpha^2/2 = 0.5$$

$$P(\theta_0 \in [\theta_{0.68}^-, \theta_{0.68}^+]) = 0.683$$

$$\sigma_\theta^+ = \theta_{0.68}^+ - \hat{\theta}$$

$$\sigma_\theta^- = \theta_{0.68}^- - \hat{\theta}$$

$$\alpha = 0.99 = \int_{-2.576}^{2.576} N(0,1) dx$$

$$r_\alpha = 2.576 \quad r_\alpha^2/2 = 3.318$$

$$P(\theta_0 \in [\theta_{0.99}^-, \theta_{0.99}^+]) = 0.99$$

$$\Delta\theta_{0.99}^+ = \theta_{0.99}^+ - \hat{\theta}$$

$$\Delta\theta_{0.99}^- = \theta_{0.99}^- - \hat{\theta}$$

Résultat: $\theta = \hat{\theta}^{\Delta\theta_\alpha^+}_{\Delta\theta_\alpha^-}$
au niveau de confiance α

Exemple: détermination de la variance d'une gaussienne de moyenne connue

$$\mu_0 = 0.$$

$$1/n = 10000$$

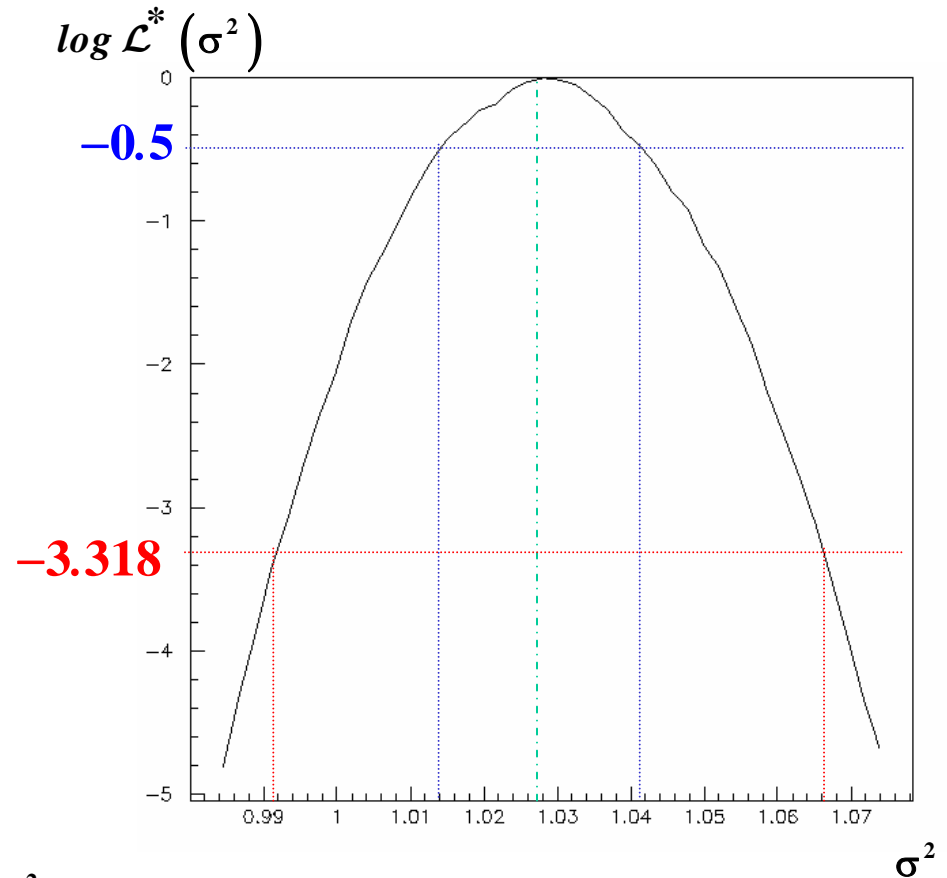
Résolution analytique:

$$\left. \begin{aligned} \hat{\sigma}^2 = S^2 = \frac{1}{n} \sum_{i=1}^n \left(\frac{x_i - \mu}{\sigma} \right)^2 \\ \hat{\sigma}_{S^2}^2 = \frac{2\hat{\sigma}^4}{n} \end{aligned} \right\} \sigma^2 = 1.028 \pm 0.014$$

Intervalle à 99% de confiance:

$$1.028 \pm 2.576 \times 0.014 = 1.028 \pm 0.036$$

Résolution graphique:



$$\sigma^2 = 1.028 \pm 0.014$$

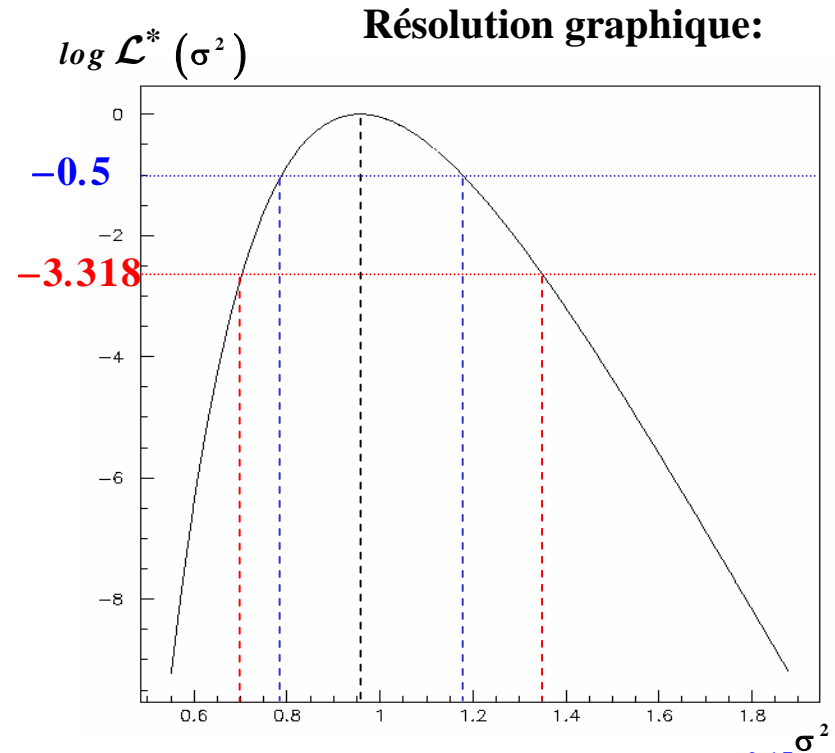
$$\text{Intervalle à 99\% de confiance} = 1.028 \pm 0.036$$

2/ n = 100

Résolution analytique:

$$\left. \begin{aligned} \hat{\sigma}^2 = S^2 = \frac{1}{n} \sum_{i=1}^n \left(\frac{x_i - \mu}{\sigma} \right)^2 \\ \hat{\sigma}_{S^2}^2 = \frac{2\hat{\sigma}^4}{n} \end{aligned} \right\} \sigma^2 = 0.96 \pm 0.14$$

mais $P(\sigma_0^2 \in [0.96 - 0.14, 0.96 + 0.14]) \neq 0.683$



Intervalle à 68.3% de confiance = $0.96_{-0.12}^{+0.15}$

Intervalle à 99% de confiance = $0.96_{-0.28}^{+0.46}$

Note: $0.46 > 0.15 \times 2.58 = 0.39$

$0.28 < 0.12 \times 2.58 = 0.31$

L'intervalle correspondant à α_2 ne peut plus être calculé connaissant l'intervalle correspondant à α_1 ,

mais il faut connaître $\log \mathcal{L}^*(\theta)$

Généralisation: détermination graphique de l'erreur et d'un domaine de confiance pour deux paramètres indépendants à l'approximation gaussienne

Distribution binormale de deux variables indépendantes

$$f(x_1, x_2) = \frac{1}{2\pi\sqrt{\sigma_1^2\sigma_2^2}} e^{-\frac{1}{2}\left(\frac{(x_1-\mu_1)^2}{\sigma_1^2} + \frac{(x_2-\mu_2)^2}{\sigma_2^2}\right)}$$

Fonction de vraisemblance de deux variables indépendantes θ_1, θ_2

approximation gaussienne : $n \rightarrow \infty$

$$\mathcal{L}(\theta_1, \theta_2 / \hat{\theta}_1, \hat{\theta}_2) = \frac{1}{2\pi\sqrt{\sigma_1^2\sigma_2^2}} e^{-\frac{1}{2}\left(\frac{(\theta_1-\hat{\theta}_1)^2}{\sigma_1^2} + \frac{(\theta_2-\hat{\theta}_2)^2}{\sigma_2^2}\right)}$$

$$\log \mathcal{L}(\theta_1, \theta_2) = -\frac{1}{2} \sum_{i=1,2} \frac{(\theta_i - \hat{\theta}_i)^2}{\sigma_i^2} + Cste$$

$$\log \mathcal{L}^*(\theta_1, \theta_2) = \log \mathcal{L}(\theta_1, \theta_2) - Cste$$

$$\hat{\theta}_i \Rightarrow \frac{\partial \log \mathcal{L}^*(\theta_1, \theta_2)}{\partial \theta_i} = 0$$

Définition du domaine de confiance pour niveau de confiance α

$$\log \mathcal{L}^* (\theta_1, \theta_2) = -\frac{1}{2} \sum_{i=1, 2} \frac{(\theta_i - \hat{\theta}_i)^2}{\sigma_i^2} \text{ paraboloidé centré sur } (\hat{\theta}_1, \hat{\theta}_2)$$

$$-2 \log \mathcal{L}^* (\theta_1, \theta_2) = \sum_{i=1, 2} \frac{(\theta_i - \hat{\theta}_i)^2}{\sigma_i^2} : \chi_2^2 \text{ par définition}$$

$$r_\alpha^2 \text{ tel que } \int_0^{r_\alpha^2} \chi_2^2(r^2) dr^2 = \alpha$$

Domaine de confiance: surface contenue dans l'ellipse définie par

intersection de $\left\{ \begin{array}{l} \text{paraboloidé } \log \mathcal{L}^* (\theta_1, \theta_2) \text{ centré sur } (\hat{\theta}_1, \hat{\theta}_2) \\ \text{plan } \log \mathcal{L}^* (\theta_1, \theta_2) = -\frac{r_\alpha^2}{2} \end{array} \right.$

α	r_α	r_α^2
0.393	1.00	0.50
0.632	1.41	1.00
0.683	1.51	1.14
0.865	2.00	2.00
0.900	2.14	2.30
0.950	2.45	3.00
0.990	3.03	4.60

Résolution

$$\log \mathcal{L}^* (\theta_1, \theta_2) = -\frac{1}{2} \sum_{i=1}^2 \frac{(\theta_i - \hat{\theta}_i)^2}{\sigma_i^2} = -\frac{r_\alpha^2}{2}$$

1 • déterminer $\hat{\theta}_1$ et $\hat{\theta}_2$ numériquement (p.e. par itération)

2 • fixer $\theta_2 = \hat{\theta}_2$

déterminer σ_1 numériquement (p.e.graphiquement)

$$\log \mathcal{L}^* (\theta_1 = \hat{\theta}_1 \pm \sigma_1, \hat{\theta}_2) = -\frac{1}{2}$$

3 • fixer $\theta_1 = \hat{\theta}_1$

déterminer σ_2 numériquement (p.e.graphiquement)

$$\log \mathcal{L}^* (\hat{\theta}_1, \theta_2 = \hat{\theta}_2 \pm \sigma_2) = -\frac{1}{2}$$

4 •
$$\sum_{i=1}^2 \frac{(\theta_i - \hat{\theta}_i)^2}{\sigma_i^2} = r_\alpha^2$$

faire varier θ_1 par pas sur $[\hat{\theta}_1 - r_\alpha \sigma_1, \hat{\theta}_1 + r_\alpha \sigma_1]$

$$\theta_2 = \hat{\theta}_2 \pm \sqrt{r_\alpha^2 - \frac{(\theta_1 - \hat{\theta}_1)^2}{\sigma_1^2}} \sigma_2$$

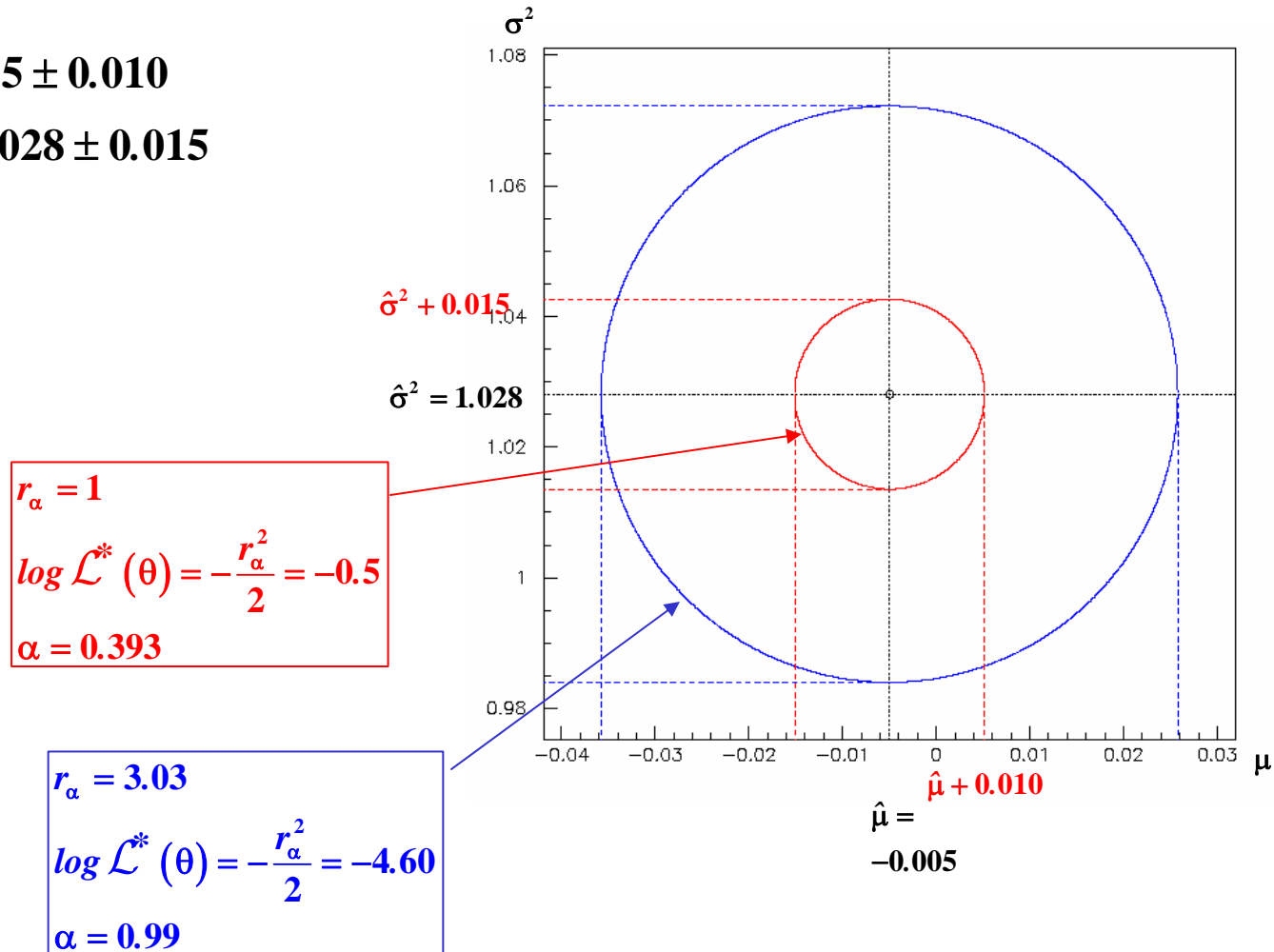
Exemple détermination simultanée de la moyenne et la variance d'un échantillon de taille $n=10000$ extrait de $N(0,1)$

Méthode analytique:

$$\hat{\mu} = \bar{x} = 0.005 \pm 0.010$$

$$\hat{\sigma}^2 = s'^2 = 1.028 \pm 0.015$$

Méthode graphique:



Généralisation: détermination graphique de l'erreur et d'un domaine de confiance pour deux paramètres corrélés à l'approximation gaussienne

Distribution binormale de deux variables corrélées

$$f(x_1, x_2) = \frac{1}{\sqrt{1-\rho^2}} \frac{1}{2\pi\sqrt{\sigma_1^2\sigma_2^2}} e^{-\frac{1}{2(1-\rho^2)}\left(\frac{(x_1-\mu_1)^2}{\sigma_1^2} + \frac{(x_2-\mu_2)^2}{\sigma_2^2} - 2\rho\frac{(x_1-\mu_1)(x_2-\mu_2)}{\sigma_1\sigma_2}\right)}$$

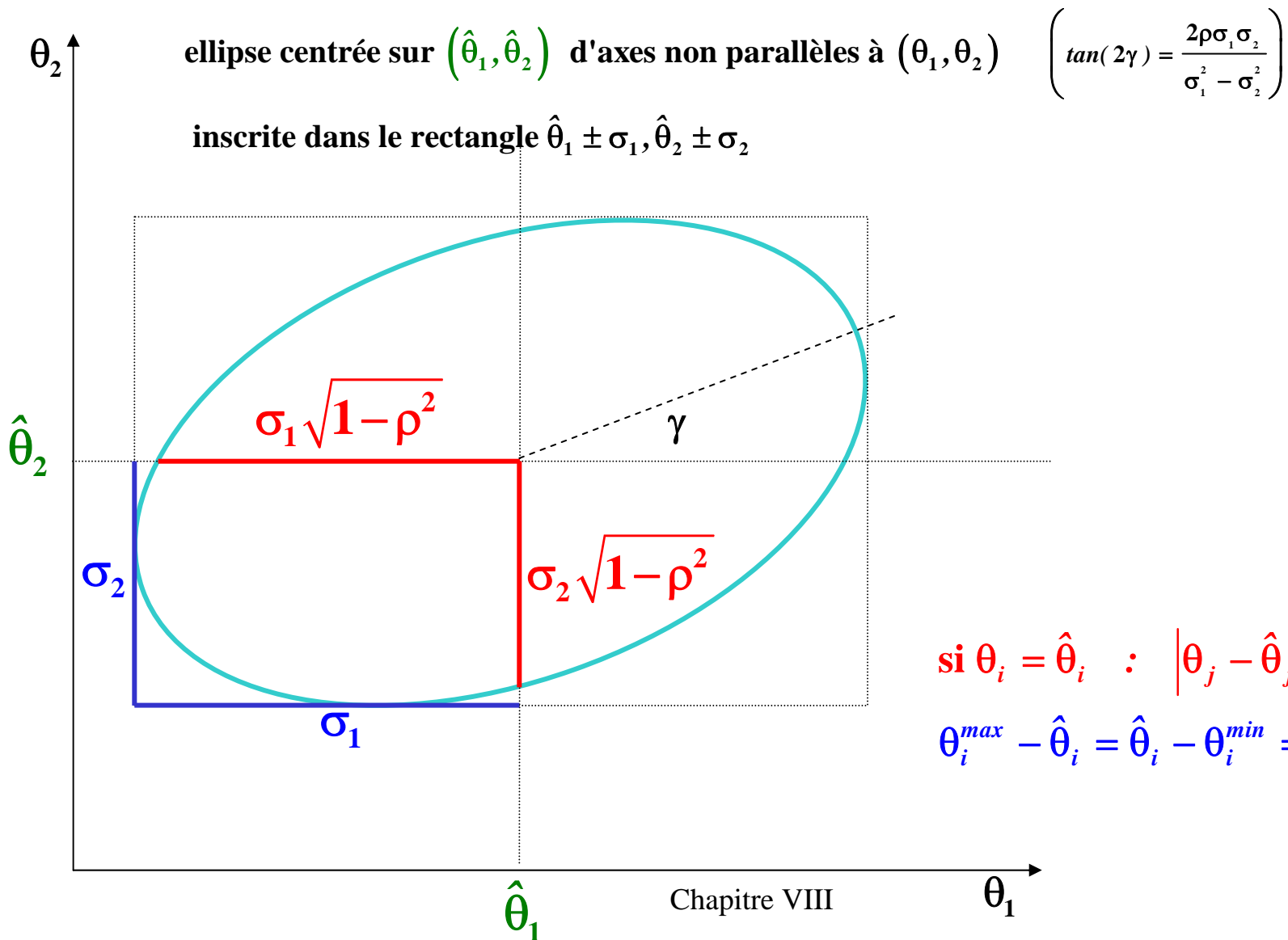
Fonction de vraisemblance de deux variables corrélées θ_1, θ_2

approximation gaussienne : $n \rightarrow \infty$

$$\mathcal{L}(\theta_1, \theta_2 / \hat{\theta}_1, \hat{\theta}_2) = \frac{1}{\sqrt{1-\rho^2}} \frac{1}{2\pi\sqrt{\sigma_1^2\sigma_2^2}} e^{-\frac{1}{2(1-\rho^2)}\left(\frac{(\theta_1-\hat{\theta}_1)^2}{\sigma_1^2} + \frac{(\theta_2-\hat{\theta}_2)^2}{\sigma_2^2} - 2\rho\frac{(\theta_1-\hat{\theta}_1)(\theta_2-\hat{\theta}_2)}{\sigma_1\sigma_2}\right)}$$

Paraboloïde centré sur $(\hat{\theta}_1, \hat{\theta}_2)$ d'axes obliques dans le système (θ_1, θ_2)

$$\text{Contour } \log \mathcal{L}^*(\theta_1, \theta_2) = -\frac{1}{2(1-\rho^2)} \left(\frac{(\theta_1 - \hat{\theta}_1)^2}{\sigma_1^2} + \frac{(\theta_2 - \hat{\theta}_2)^2}{\sigma_2^2} - 2\rho \frac{(\theta_1 - \hat{\theta}_1)(\theta_2 - \hat{\theta}_2)}{\sigma_1 \sigma_2} \right) = -\frac{1}{2}$$



Exemple de détermination de deux paramètres corrélés

Un bruit de fond uniforme est souvent superposé au spectre de temps de vie à décroissance exponentielle d'une particule instable. Il est généré par des signaux aléatoires peuplant uniformément la fenêtre temporelle pendant laquelle est faite la mesure.

Soit un échantillon simulé de N événements comprenant :

- 95% de désintégrations de muons ($\tau_\mu = 2.2\mu s$)
- 5% de bruit de fond uniforme.

Fenêtre de mesure : $t \in [t_{\min} = 1\mu s, t_{\max} = 10\mu s]$

Paramètres à déterminer : τ ($\tau_0 = 2.2\mu s$) et ε ($\varepsilon_0 = 0.05$)

$$f(t | \tau, \varepsilon) = \frac{\varepsilon}{t_{\max} - t_{\min}} + \frac{1 - \varepsilon}{\tau (e^{-t_{\min}/\tau} - e^{-t_{\max}/\tau})} e^{-\frac{t}{\tau}}$$

$$\int_{t_{\min}}^{t_{\max}} f(t | \tau, \varepsilon) dt = \varepsilon + (1 - \varepsilon) = 1$$

$$\mathcal{L}(\tau, \varepsilon) = \prod_{n=1}^N f(t_n | \tau, \varepsilon)$$

Echantillon de 10 000 événements

Estimation de τ en fixant $\varepsilon=0$.

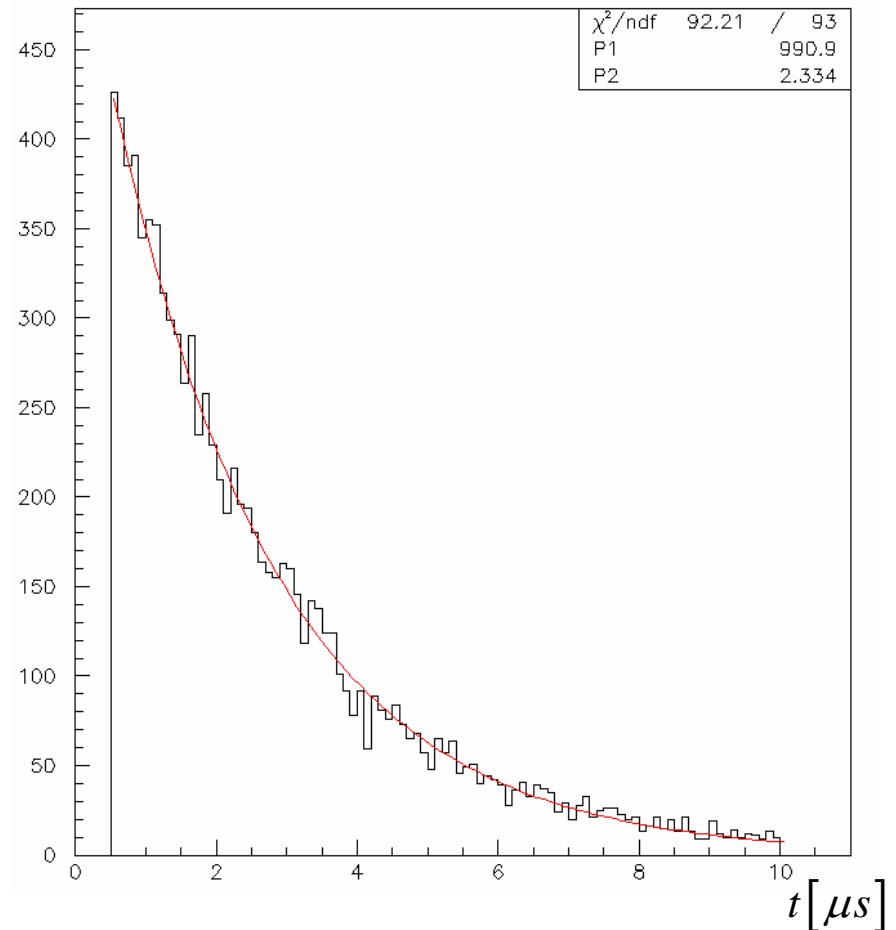
$$\hat{\tau} = 2.334 \pm 0.029 \gg 2.2$$

Mais excellent accord entre histogramme
et exponentielle décroissante :

$$\chi^2 / N.d.L. = 92.2/93$$

Taille d'échantillon insuffisante
pour détecter la présence d'un bruit de fond
en l'absence d'a priori sur τ .

La distribution est compatible avec $\varepsilon=0$.



Echantillon de 200 000 événements

Estimation de τ en fixant $\varepsilon=0$.

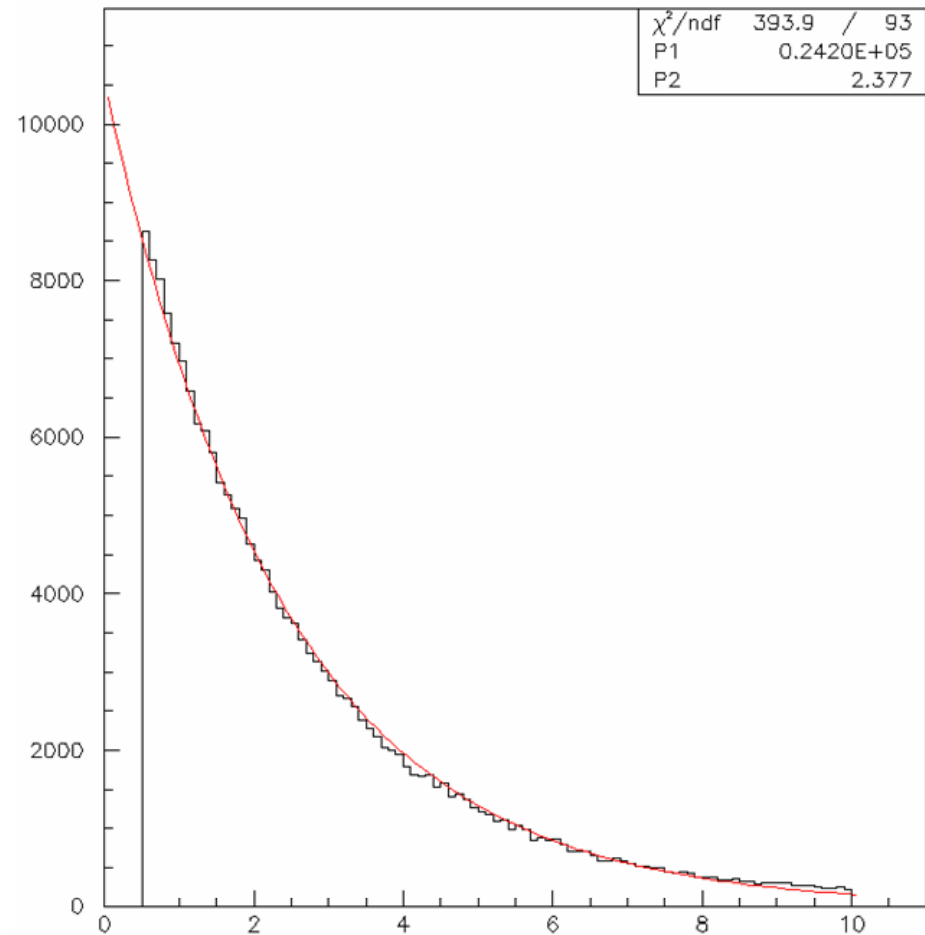
$$\hat{\tau} = 2.377 \pm 0.0067 \gg 2.2$$

Mauvais accord entre histogramme
et exponentielle décroissante :

$$\chi^2 / N.d.L. = 394/93$$

Taille d'échantillon suffisante
pour détecter la présence d'un bruit de fond
en l'absence d'a priori sur τ .

La distribution n'est pas compatible avec $\varepsilon=0$.

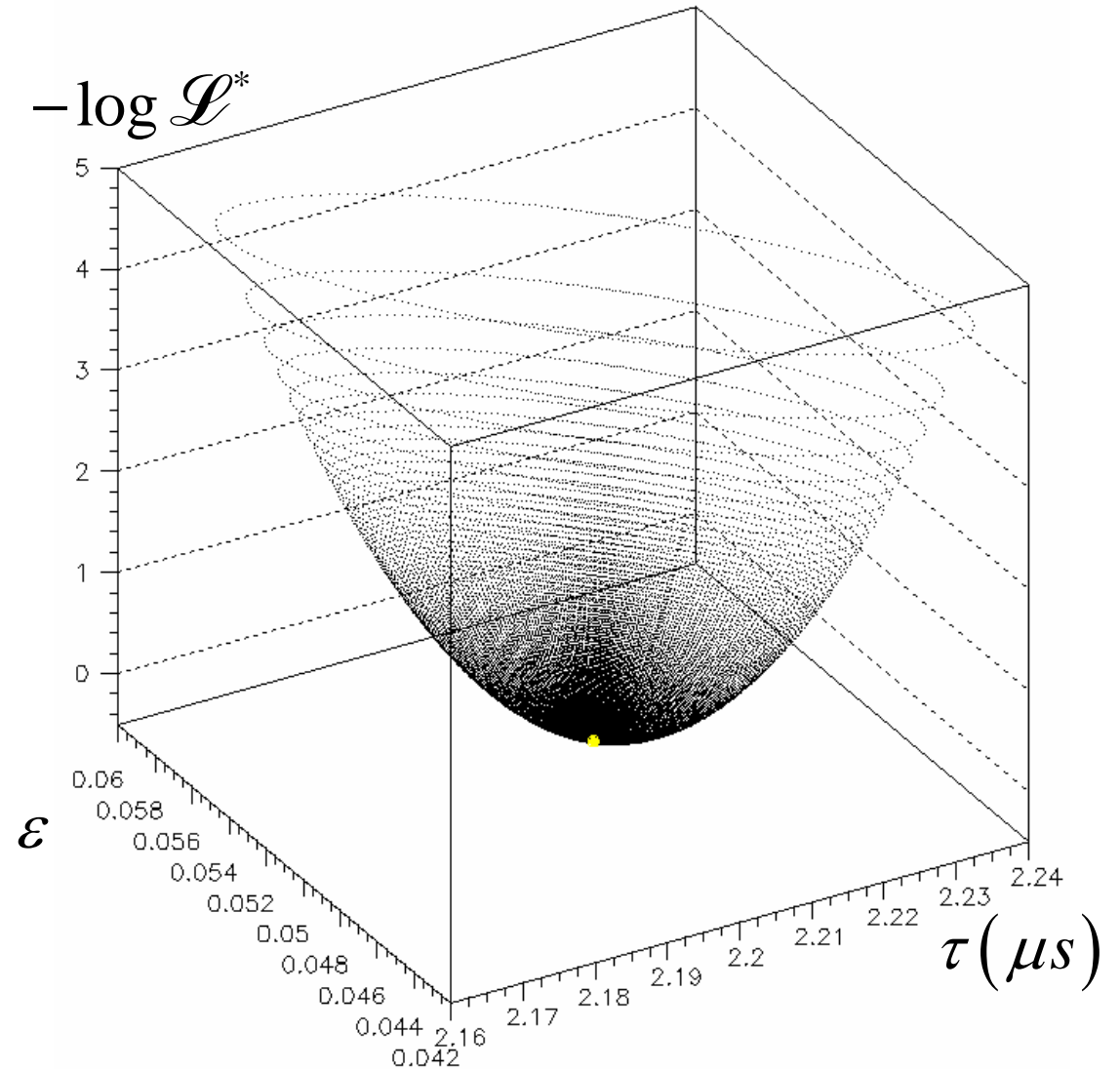


Procédure:

1◦ déterminer $\hat{\tau}$ et $\hat{\varepsilon}$ par minimisation de $-\log \mathcal{L}^*(\tau, \varepsilon | \underline{t})$

• $\hat{\tau} = 2.201 \mu s$ $\hat{\varepsilon} = 0.0503$

$\tau_0 = 2.2 \mu s$ $\varepsilon_0 = 0.05$



Procédure:

2° déterminer $\sigma_\tau \sqrt{1-\rho^2}$

τ_\pm : intersection de $\begin{cases} -\log \mathcal{L}^*(\tau | \hat{\varepsilon}, \underline{t}) \\ -\log \mathcal{L}^* = \frac{1}{2} \end{cases}$

$$\hat{\tau} - \tau_- = 0.0063 \cong \tau_+ - \hat{\tau} = 0.0065$$

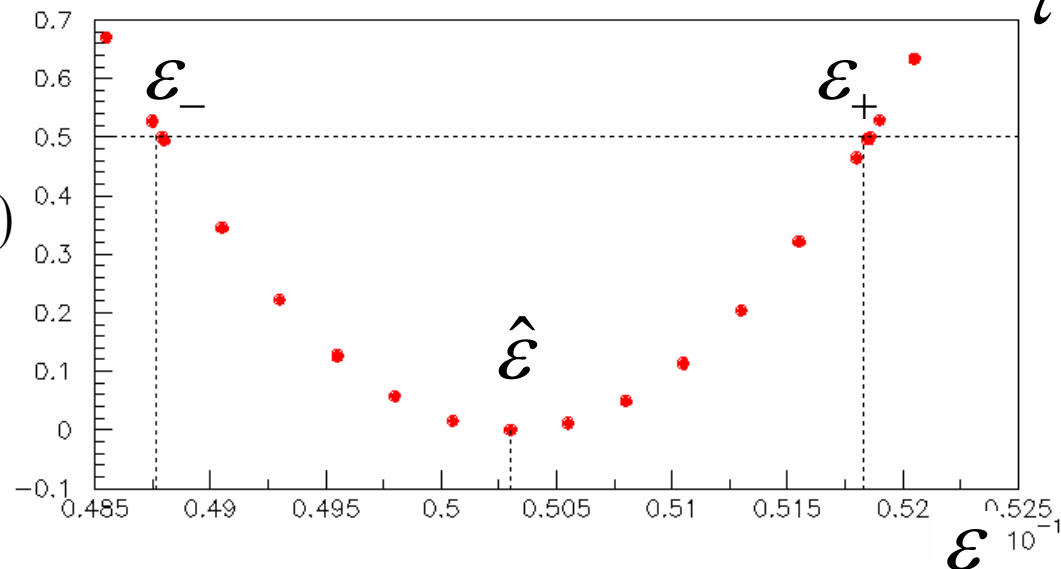
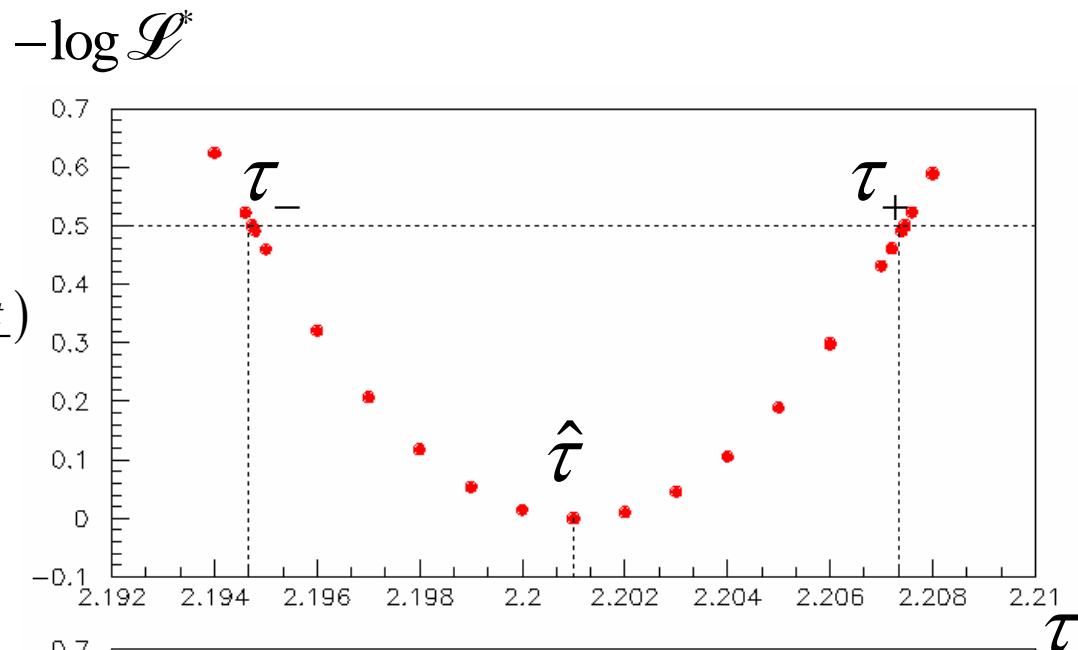
$$\sigma_\tau \sqrt{1-\rho^2} = 0.0064$$

déterminer $\sigma_\varepsilon \sqrt{1-\rho^2}$

ε_\pm : intersection de $\begin{cases} -\log \mathcal{L}^*(\varepsilon | \hat{\tau}, \underline{t}) \\ -\log \mathcal{L}^* = \frac{1}{2} \end{cases}$

$$\hat{\varepsilon} - \varepsilon_- = 0.00151 \cong \varepsilon_+ - \hat{\varepsilon} = 0.00156$$

$$\sigma_\varepsilon \sqrt{1-\rho^2} = 0.0015$$



Procédure:

- 3° déterminer dans le plan (τ, ε)
le contour elleptique

$$-\log \mathcal{L}^*(\tau, \varepsilon | \underline{t}) = \frac{1}{2} = \frac{1}{2} \left(\frac{(\tau - \hat{\tau})^2}{\sigma_\tau^2} + \frac{(\varepsilon - \hat{\varepsilon})^2}{\sigma_\varepsilon^2} \right)$$

dont 4 points sont connus :

$$\left(\hat{\tau}, \hat{\varepsilon} \pm \sigma_\varepsilon \sqrt{1 - \rho^2} \right) \text{ et } \left(\hat{\tau} \pm \sigma_\tau \sqrt{1 - \rho^2}, \hat{\varepsilon} \right)$$

- 4° déterminer les écarts types :

déterminer les extrema $\tau_{\min, \max}$ et $\varepsilon_{\min, \max}$

$$\tau_{\max} - \hat{\tau} = \hat{\tau} - \tau_{\min} = \sigma_\tau = 0.011$$

$$\varepsilon_{\max} - \hat{\varepsilon} = \hat{\varepsilon} - \varepsilon_{\min} = \sigma_\varepsilon = 0.0027$$

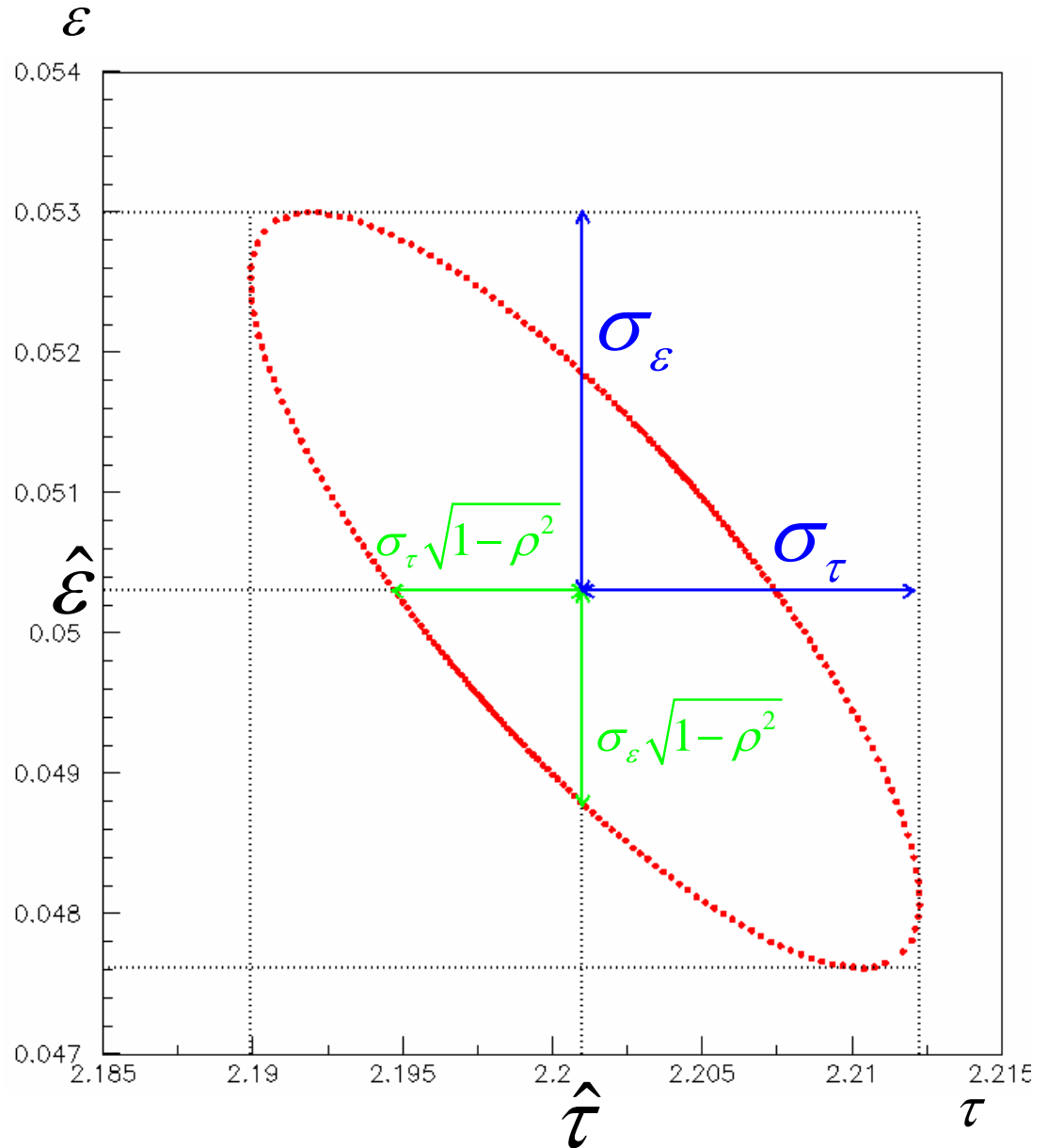
- 5° déterminer le coefficient de corrélation

connaissant $\sigma_{\tau, \varepsilon}$ et $\sigma_{\tau, \varepsilon} \sqrt{1 - \rho^2}$

ρ calculé a partir de σ_τ : 0.660

ρ calculé a partir de σ_ε : 0.663

$$\rho = -0.66$$



Procédure:

6° déterminer dans le plan (τ, ε) le contours elleptique correspondant au $C.L. = \alpha$

$$r_\alpha^2 \rightarrow \alpha = \int_0^{r_\alpha^2} \chi_2^2(x) dx$$

$$-\log \mathcal{L}^*(\tau, \varepsilon | \underline{t}) = \frac{1}{2} \left(\frac{(\tau - \hat{\tau})^2}{\sigma_\tau^2} + \frac{(\varepsilon - \hat{\varepsilon})^2}{\sigma_\varepsilon^2} \right) = \frac{r_\alpha^2}{2}$$

connaissant le contours correspondant au $C.L. = 0.393$, $r_{0.393}^2 = 1$

A tous (τ, ε) sur le contour $C.L. = 0.393$ correspondent (τ', ε') sur le contour $C.L. = \alpha$ tels que :

1- γ : angle entre les axes principaux de l'ellipse et ceux du systeme de coordonnées

$$\gamma = \frac{1}{2} \operatorname{tg}^{-1} \left(\frac{\rho \sigma_\tau \sigma_\varepsilon}{\sqrt{\sigma_\tau^2 - \sigma_\varepsilon^2}} \right)$$

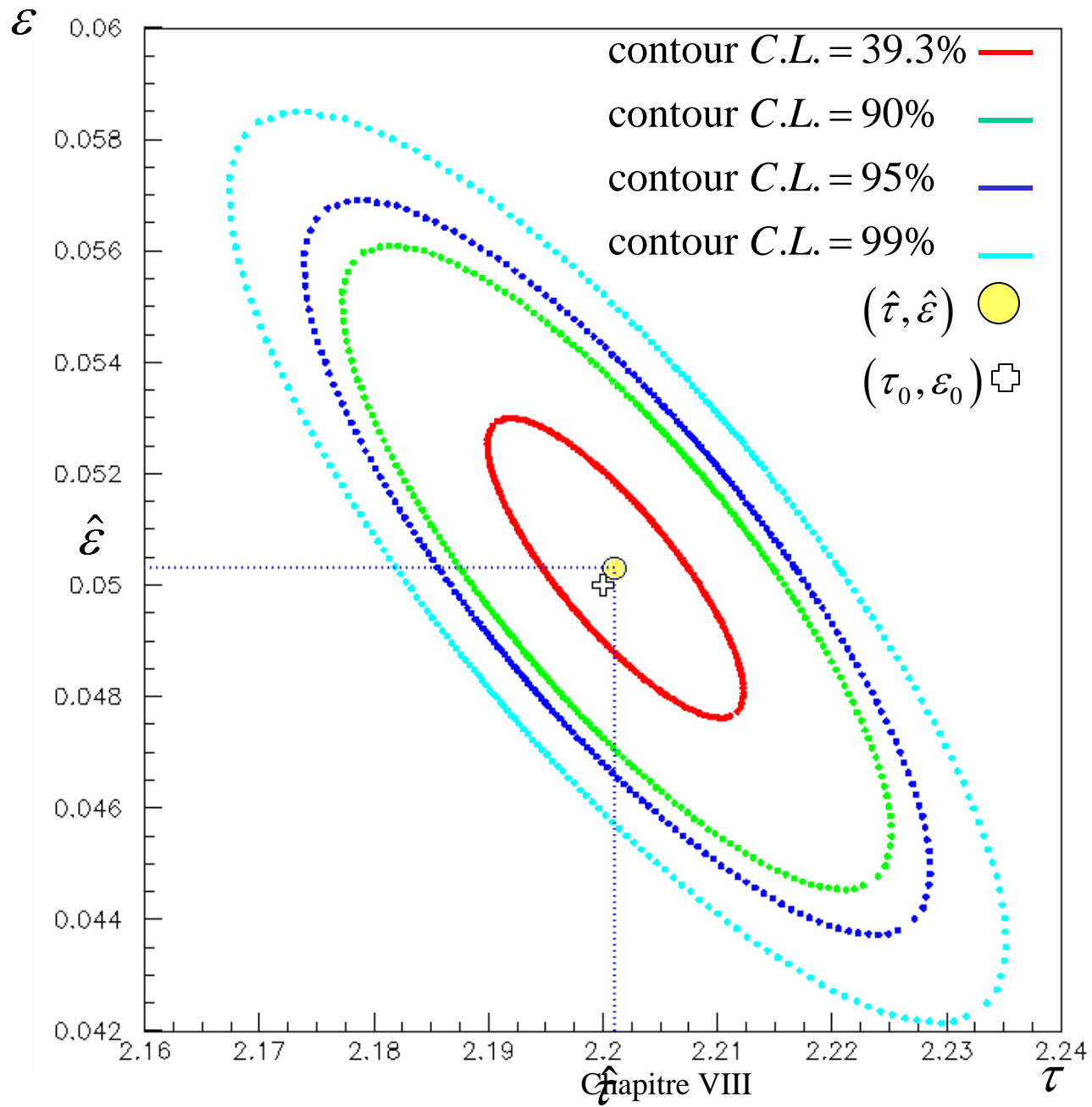
2- translation de (τ, ε) de $(-\hat{\tau}, -\hat{\varepsilon})$ et rotation de $(-\gamma)$ autour de $(0,0) \Rightarrow (\tau_\gamma, \varepsilon_\gamma)$

3- facteur d'échelle r_α sur $(\tau_\gamma, \varepsilon_\gamma) \Rightarrow (\tau'_\gamma, \varepsilon'_\gamma)$

4- rotation de $(\tau'_\gamma, \varepsilon'_\gamma)$ de γ autour de $(0,0)$ et translation de $(\hat{\tau}, \hat{\varepsilon}) \Rightarrow (\tau', \varepsilon')$

$$\tau' = \hat{\tau} + r_\alpha \left((\tau - \hat{\tau}) \cos \gamma - (\varepsilon - \hat{\varepsilon}) \sin \gamma \right) \cos \gamma + r_\alpha \left((\tau - \hat{\tau}) \cos \gamma - (\varepsilon - \hat{\varepsilon}) \sin \gamma \right) \sin \gamma$$

$$\varepsilon' = \hat{\varepsilon} + r_\alpha \left((\tau - \hat{\tau}) \cos \gamma - (\varepsilon - \hat{\varepsilon}) \sin \gamma \right) \sin \gamma - r_\alpha \left((\tau - \hat{\tau}) \cos \gamma - (\varepsilon - \hat{\varepsilon}) \sin \gamma \right) \cos \gamma$$



Généralisation: détermination graphique de l'erreur et d'un domaine de confiance pour deux paramètres corrélés avec de petits échantillons

$\mathcal{L}^* (\theta_1, \theta_2 / \hat{\theta}_1, \hat{\theta}_2)$ n'est plus un parabololoïde centré sur $(\hat{\theta}_1, \hat{\theta}_2)$

Contour à $\log \mathcal{L}^* (\theta_1, \theta_2) = Cste$ n'est plus ellipse centrée sur $(\hat{\theta}_1, \hat{\theta}_2)$

**Domaine de confiance correspondant au niveau de confiance α :
surface contenue dans la courbe**

intersection de
$$\begin{cases} \log \mathcal{L}^* (\theta_1, \theta_2) \\ \text{plan } \log \mathcal{L}^* (\theta_1, \theta_2) = -\frac{1}{r_\alpha^2} \end{cases}$$

Généralisation: détermination graphique de l'erreur et d'un domaine de confiance pour N paramètres corrélés avec de petits échantillons

Méthode reste valable en théorie: $\chi_2^2 \rightarrow \chi_N^2$

r_α tel que
$$\int_0^{r_\alpha^2} \chi_N^2 (r^2) dr^2 = \alpha$$

En pratique difficile à mettre en oeuvre si n petit, N grand et corrélations